

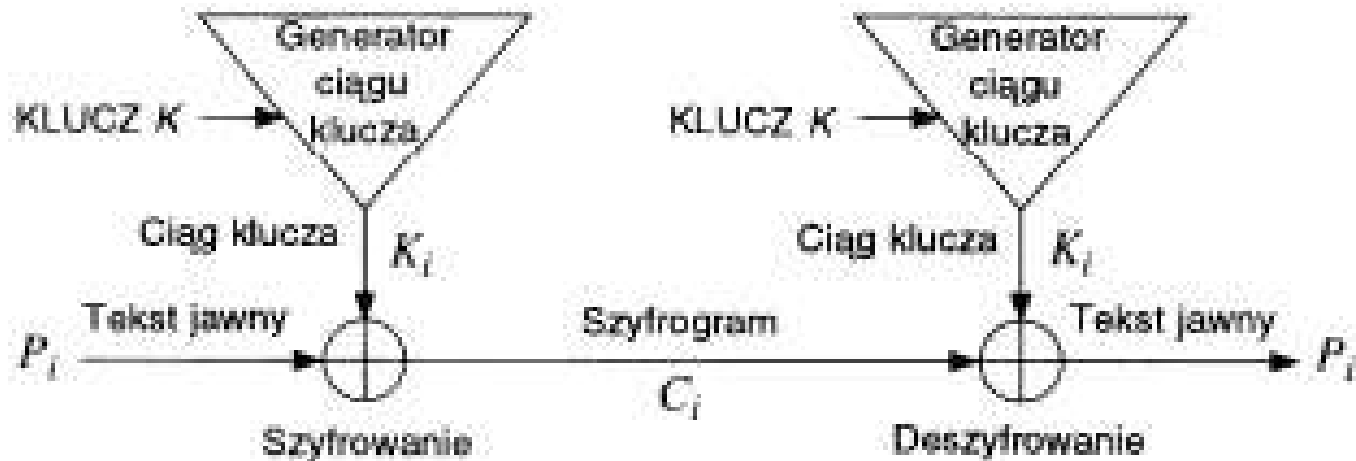
Szyfry strumieniowe w układach programowalnych FPGA

Marcin Rogawski
rogawskim@prokom.pl

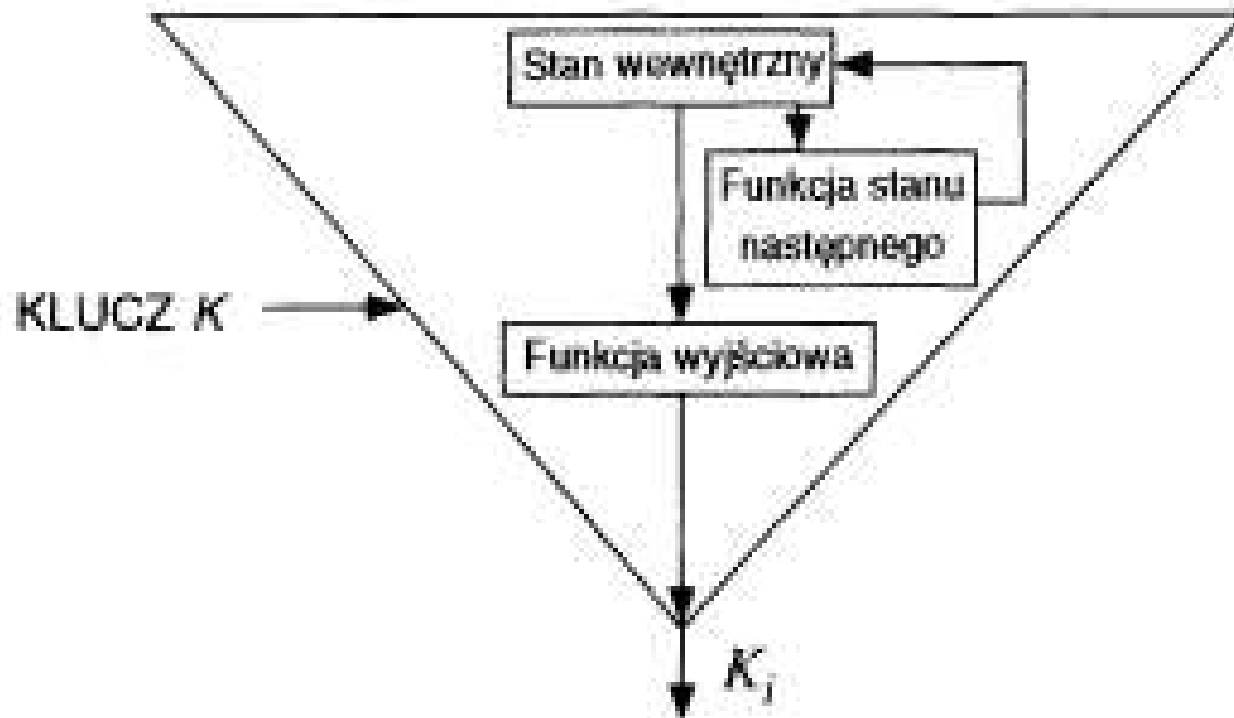
Plan referatu

- Szyfry strumieniowe,
- Wybór tematu,
- Struktury programowalne – element fizyczny,
- Architektury akceleratorów kryptograficznych – element logiczny,
- Szyfry strumieniowe – implementacje w FPGA,
- Podsumowanie.

Szyfry strumieniowe



Szyfry strumieniowe



Wybór tematu

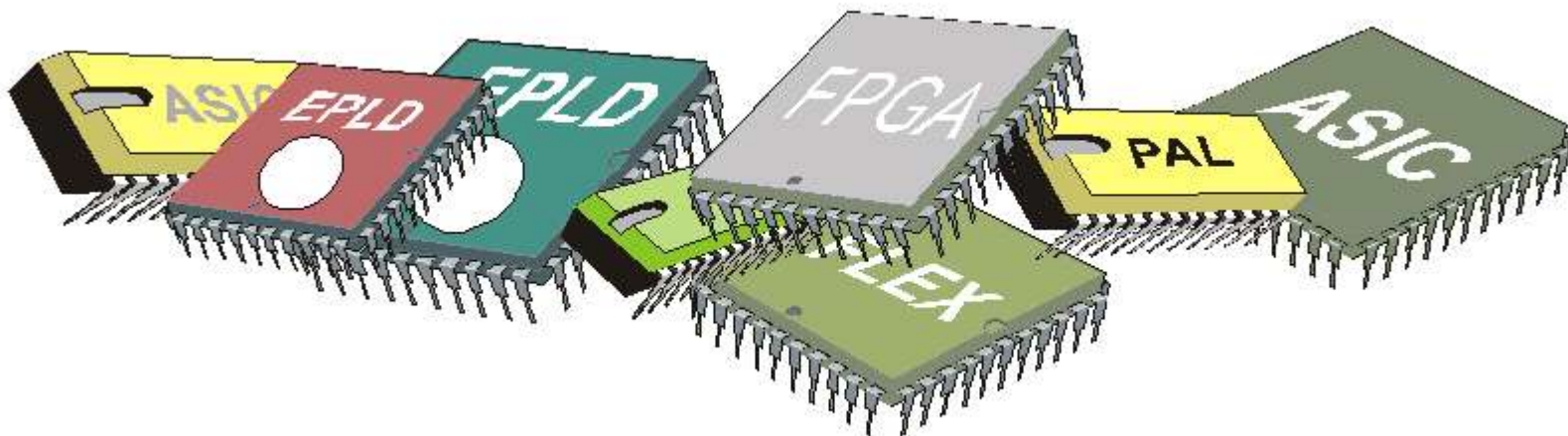
- Konkurs AES,
- Konkurs NESSIE,
- Szyfry strumieniowe – „art of state”,
- Zastosowanie szyfrów strumieniowych,
- Układy FPGA.

Akceleratory kryptograficzne w FPGA

- Założenia funkcjonalne,
- Założenia wydajnościowe,
- Cena układu,
- Współpraca z innymi układami scalonymi.

Układy programowalne – warstwa fizyczna

- Zasoby:
 - liczba wyprowadzeń;
 - bloki logiczne;
 - bloki pamięci wbudowanej;
 - bloki DSP;



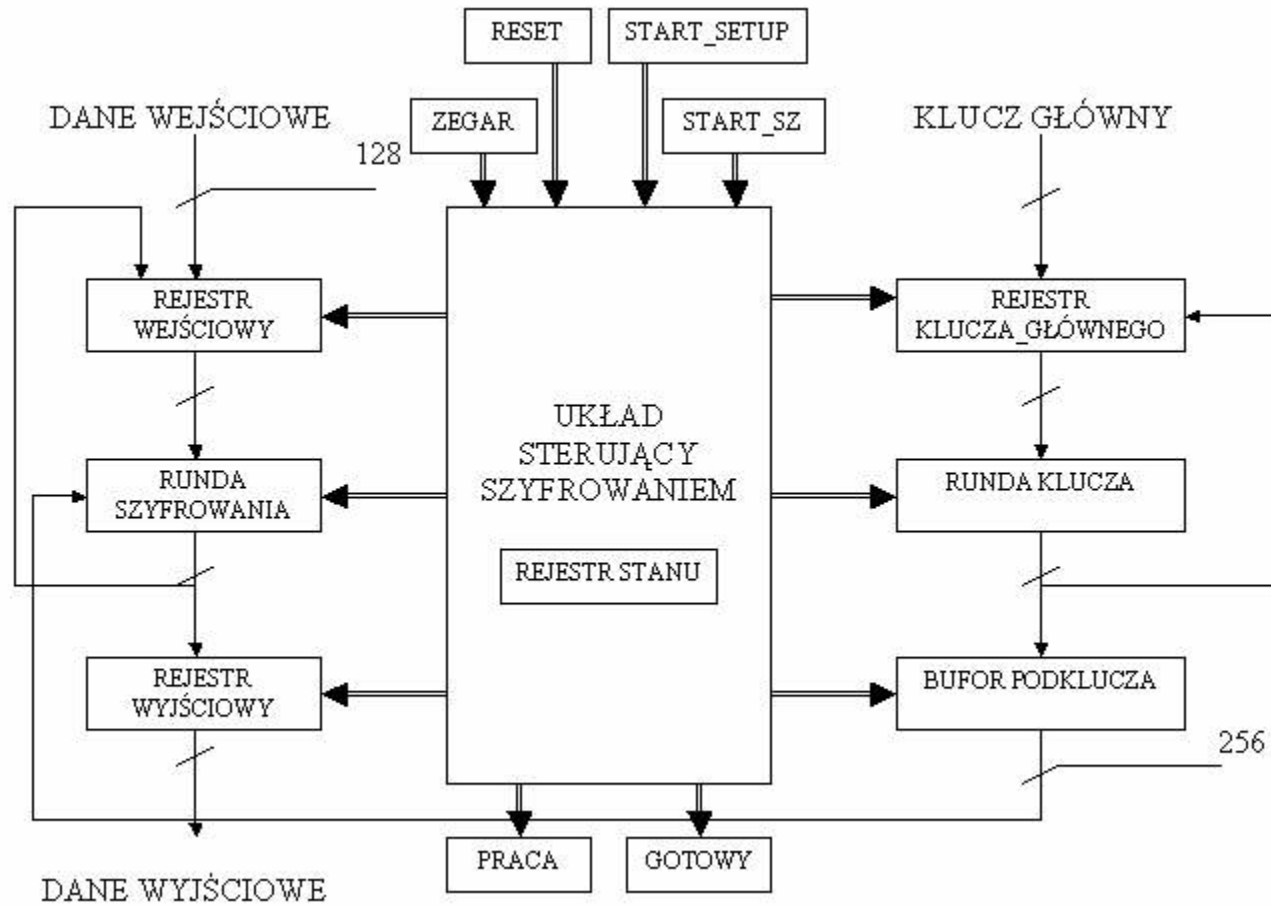
Cykl rozkazowy

- Pobranie instrukcji,
- Dekodowanie instrukcji,
- Pobranie argumentów,
- Wykonanie operacji,
- Zapis wyniku.

Architektury modułów kryptograficznych – warstwa logiczna

- Architektura ITERACYJNA (L);
- Architektura KOMBINACYJNA (U);
- Architektura POTOKOWA (P);
- Architektura HYBRYDOWA (...);

Architektura ITERACYJJNA

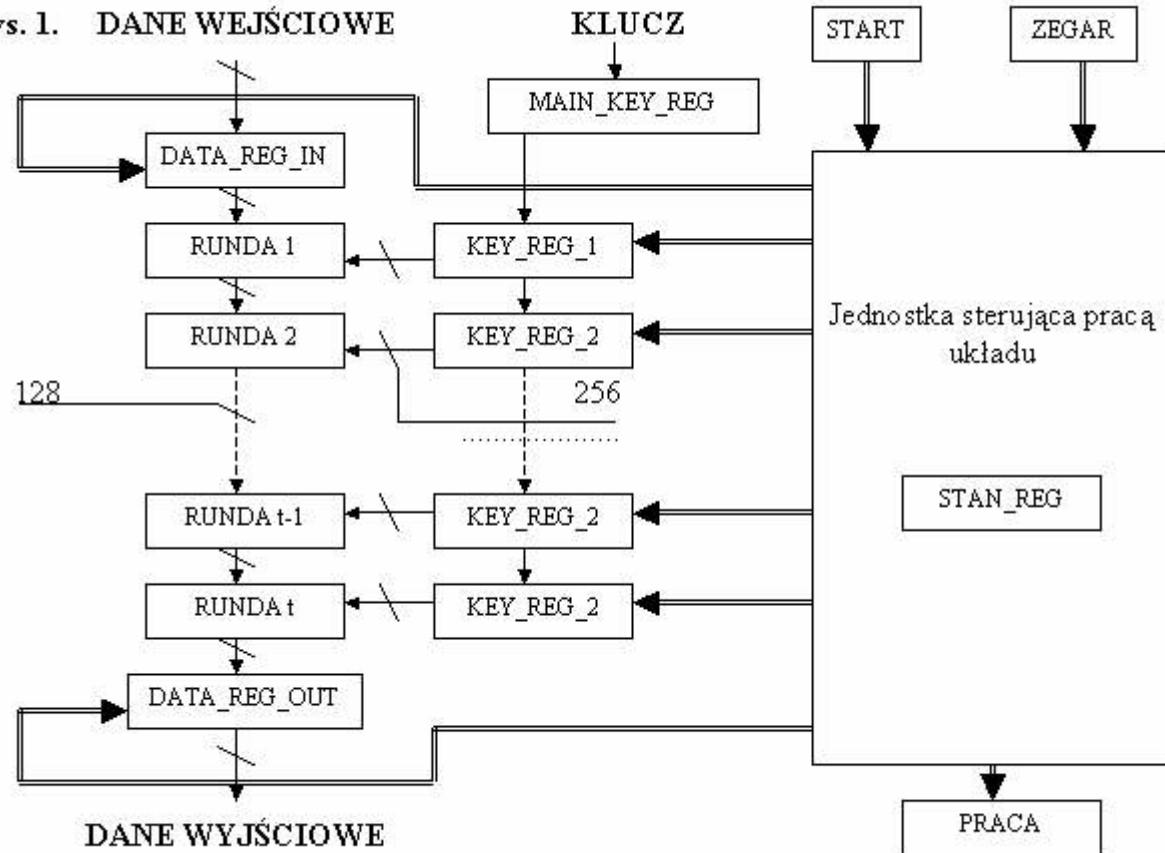


Architektura ITERACYJNA

- Naturalna dla algorytmów kryptograficznych;
- Duża efektywność;
- Możliwość realizacji pełnej funkcjonalności algorytmu (różne tryby pracy);
- Najmniejsza przepustowość;

Architektura KOMBINACYJNA

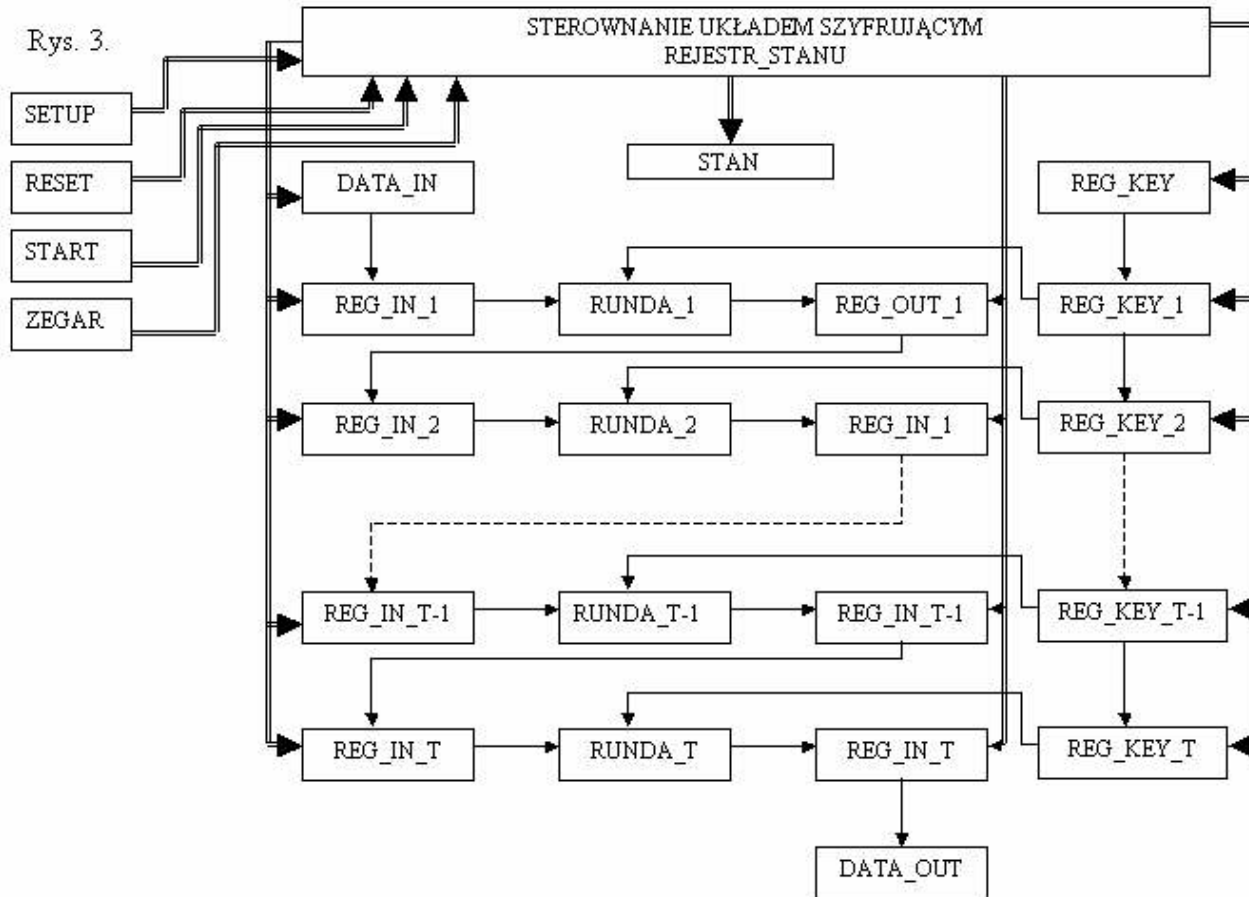
Rys. 1. DANE WEJŚCIOWE



Architektura KOMBINACYJNA

- realizacja podstawowej operacji algorytmu w ciągu jednego taktu zegarowego;
- niska efektywność;
- układ sterujący – nieskomplikowany;
- ograniczona możliwość realizacji większości algorytmów kryptograficznych

Architektura POTOKOWA



Architektura POTOKOWA

- Natura procesorów o potokowej architekturze;
- Duża efektywność;
- Największa szybkość przetwarzania;
- Możliwość realizacji każdego algorytmu blokowego;
- WADA: architektura tylko dla ECB;
- WADA: brak wsparcia dla funkcji skrótu, szyfrów strumieniowych

Algorytmy kryptograficzne i Architektury

| | Algorytmy blokowe | Algorytmy strumieniowe | Funkcje skrótu |
|---------------------------|--|---|---|
| architektura interacyjna | Każdy algorytm | Każdy algorytm | Każdy algorytm |
| architektura kombinacyjna | Każdy algorytm, ale czasami niezbędny jest Key Setup | Większość algorytmów, z którymi się zetknął autor można zrealizować używając tej architektury | Większość algorytmów, z którymi się zetknął autor można zrealizować używając tej architektury |
| architektura potokowa | Praca w trybie ECB, lub prostym licznikowym | — | — |
| architektura hybrydowa | Dowolne kombinacje | Kombinacyjno-iteracyjne | Kombinacyjno-iteracyjne |

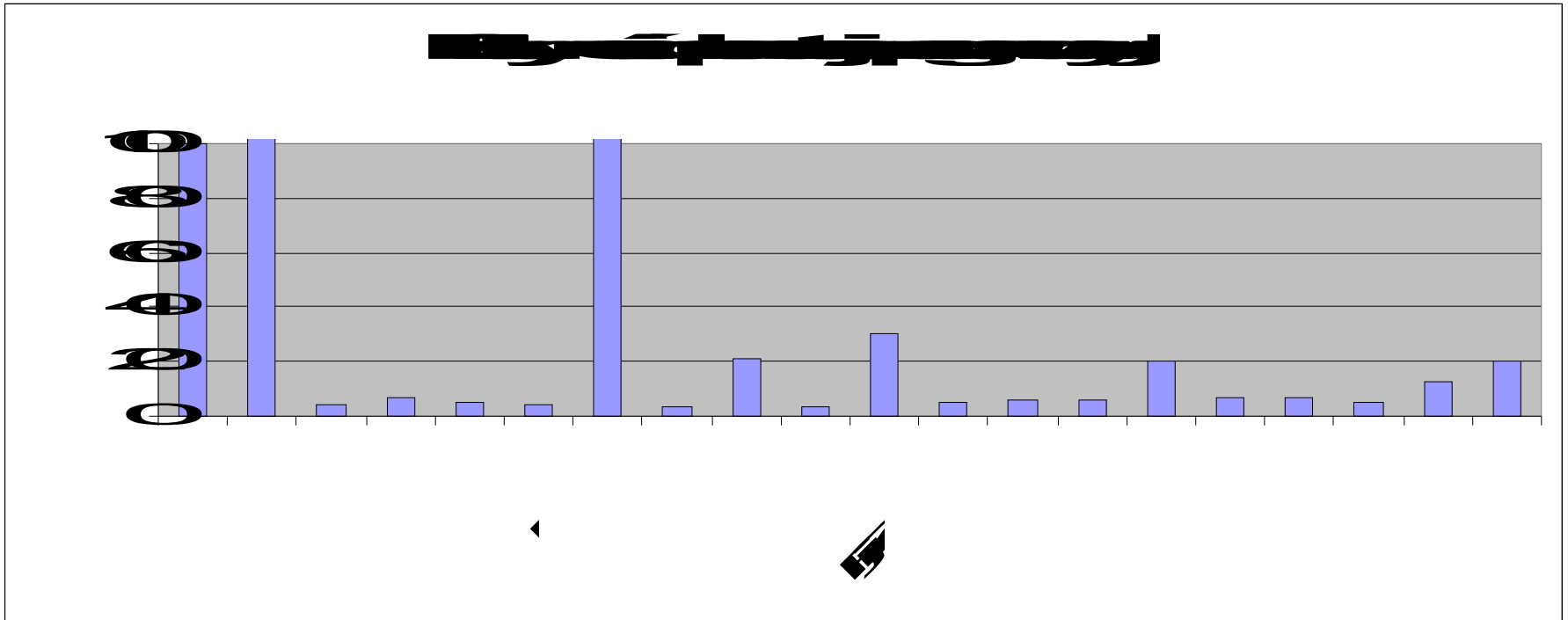
Wybrane szyfry strumieniowe

- A5,
- BGML (Hastad J., Naslund M.- Szwecja),
- E0,
- Helix (Schneier B. - USA),
- Leviathan (Cisco Systems - USA),
- Lili-128 (Queensland University of Technology, Golic J. Australia/Serbia),
- Mir-1 (Alexander Maximov - Rosja),
- Mugi (Hitachi),
- Rabbit (Cryptico A/S - Dania),
- RC4 (Rivest R. - USA),
- Sober-t16 (Qualcomm - Australia),
- VMPC (Żółtak B. - Polska),
- W7 (Wave7 Optics, Anagram Laboratories, University of Waterloo -- Belgia),
- F8 (Matsui M. - Japonia),
- Rijnadael – OFB (J.Deamen, V.Rijmen - Belgia).

Dalsze badania ...

- HC-256,
- Henkos,
- ISAAC,
- Panama,
- Seal,
- Scream,
- Snow,
- Turing,
- Wake.

Wyniki implementacji programowych



Założenia implementacyjne

- Układ Flex 10KE,
- AHDL,
- Wybrane szyfry – wersja podstawowa,
- Biblioteka funkcji,
- Największa szybkość,

Przepustowość

(długość słowa)

(ilość cykli) * (czas trwania cyklu)

Długość słowa / stan wewnętrzny

| algorytm strumieniowy | długość strumienia klucza | wielkość stanu wewnętrznego |
|-----------------------|---------------------------|-------------------------------------|
| A5 | 1 | 64 |
| BMGL | 16 | $17 \cdot 128$ (2176) |
| E0 | 1 | $128 + 2$ (130) |
| Helix | 32 | 128 |
| Leviathan | 32 | 128 |
| Lili-128 | 1 | 128 |
| Mir-1 | 64 | $2 \cdot 64 + 4 \cdot 64$ (384) |
| Mugi | 64 | $3 \cdot 64 + 16 \cdot 64$ (1216) |
| Rabbit | 128 | $8 \cdot 32 + 8 \cdot 32 + 1$ (513) |
| RC4 | 8 | $(8 \cdot 256)$ 2048 |
| Sober-16 | 8 | 128 |
| VMPC | 8 | $(8 \cdot 256)$ 2048 |
| W7 | 8 | $8 \cdot 128$ |
| F8 | 64 | 128 |
| Rijndael – OFB | 128 | 128 |

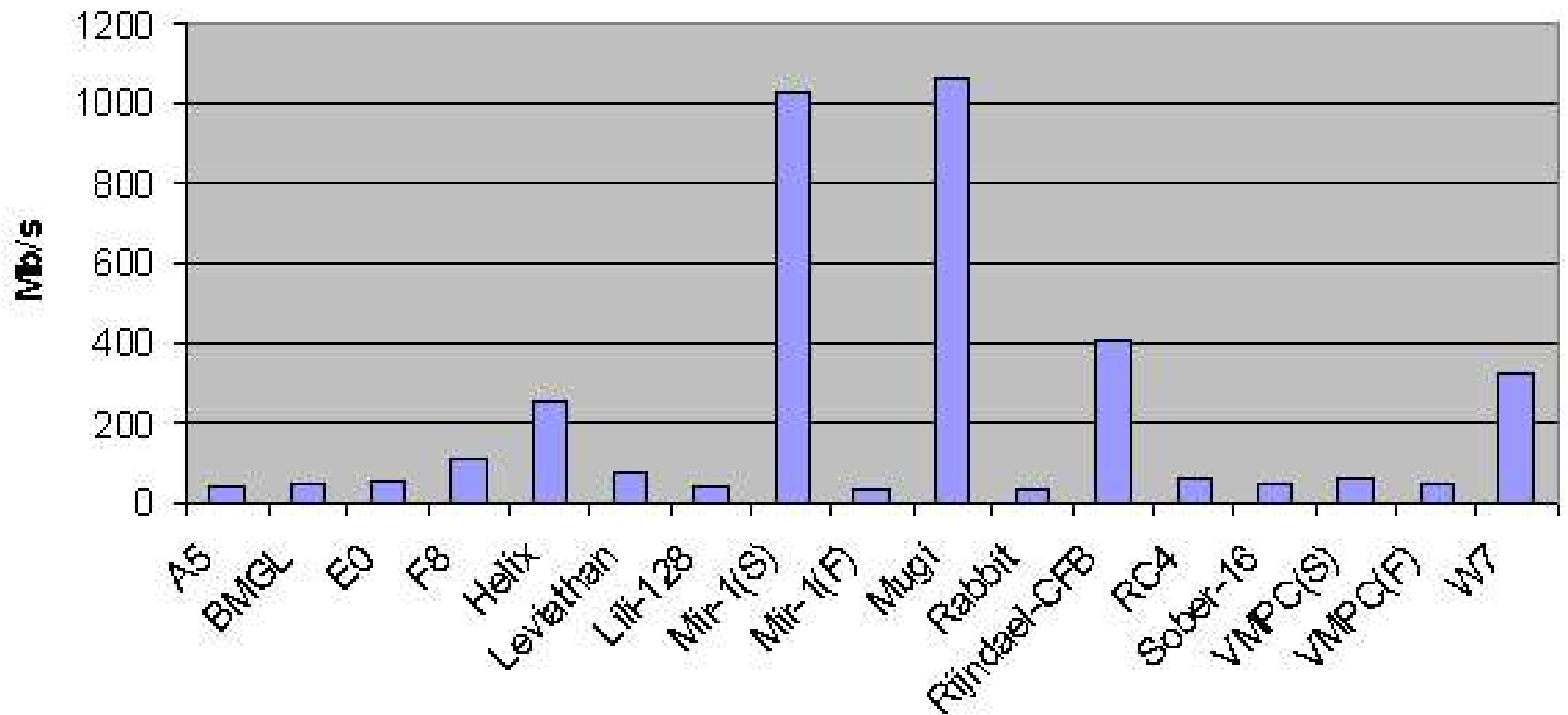
Operacje składowe

| | operacje arytmetyczne | operacje logiczne | Przesunięcia | LFSR | Podstawienia sbox | tablice | Mnożenie przez macierz |
|----------------|-----------------------|-------------------|--------------|--------------|-------------------|---------|------------------------|
| | * / + | and / or | shift / rot | reg./niereg. | | | |
| A5 | - / - | - / - | - / - | - / t | - | - | - |
| BMGL | t / - | - / - | t / - | - / - | t | - | t |
| E0 | - / t | - / - | t / - | t / - | - | - | - |
| Helix | - / t | - / - | t / - | - / - | - | - | - |
| Leviathan | - / t | - / - | - / - | - / - | t | - | - |
| Lili-128 | - / - | - / - | - / - | - / t | t | - | - |
| Mir-1 | t / t | t / t | t / - | - / - | t | - | - |
| Mugi | - / - | - / - | - / t | - / - | t | - | t |
| Rabbit | t / t | - / - | t / t | - / - | - | - | - |
| Rc4 | - / t | - / - | - / - | - / - | - | t | - |
| Sober-t16 | - / t | t / - | - / - | - / t | - | - | - |
| VMPC | - / t | - / - | - / - | - / - | - | t | - |
| W7 | - / - | t / t | - / - | - / t | - | - | - |
| F8 | - / - | t / t | - / - | - / - | t | - | - |
| Rijndael - OFB | - / - | - / - | t / t | - / - | t | - | t |

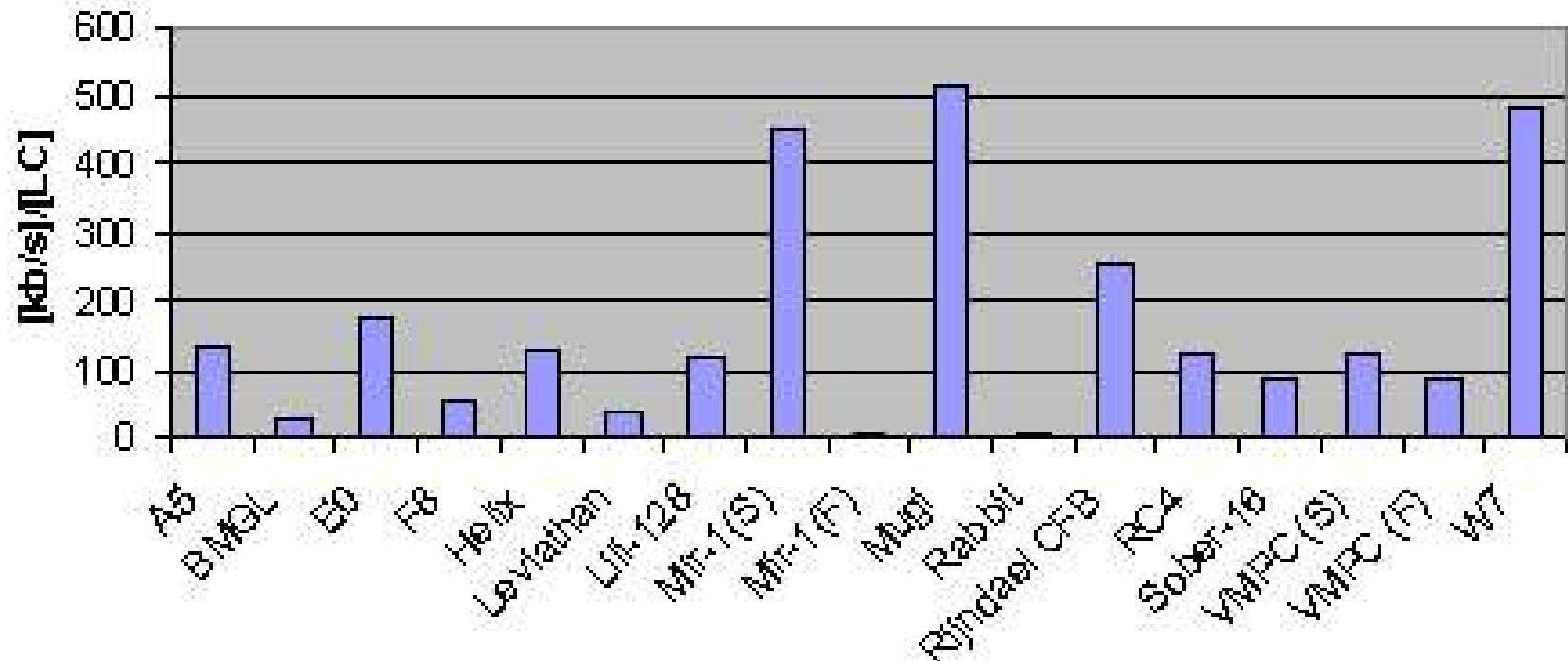
Wyniki implementacji - FPGA

| | Częstotliwość max. | Zajętość struktury | Przepustowość / zajętość | Przepustowość |
|--------------|--------------------|--------------------|--------------------------|---------------|
| | [Mhz] | [LC/mem. bits] | [kb/LC] | [Mb/s] |
| A5 | 158,7 | 299 | 132,7 | 39,7 |
| BMGL | 166,7 | 1620 / 40960 | 26,6 | 43,1 |
| E0 | 250 | 280 | 178,8 | 50,0 |
| F8 | 50 | 2031 | 54,3 | 110,3 |
| Helix | 65 | 2003 | 126,9 | 254,2 |
| Leviathan | 35 | 1978 | 37,9 | 75,0 |
| Lili-128 | 204,8 | 339 | 114,7 | 38,9 |
| Mir-1 | 37,3 | 4521 / 49152 | 8,1 | 36,73 |
| Mir-1 (S) | 32 | 2,294 / 49152 / 96 | 449,8 | 1032 |
| Mugi | 33,3 | 2075 / 32768 | 513,7 | 1066 |
| Rabbit | 16,7 | 4809 | 7,4 | 35,6 |
| Rijndael OFB | 90 | 1610 / 40960 | 254,7 | 410,0 |
| RC4 | 70,4 | 459 / 4096 | 122,7 | 56,3 |
| Sober-16 | 25,18 | 525 | 85,3 | 44,8 |
| VMPC | 71,9 | 514 / 12228 | 86,3 | 44,4 |
| VMPC (S) | 100,0 | 498/ 12228 | 124,0 | 61,75 |
| W7 | 161,3 | 674 | 478,6 | 322,6 |

Przepustowość



Efektywność implementacji sprzętowych



Podsumowanie

- Implementacje sprzętowe a algorytmy kryptograficzne,
- Elastyczność rozwiązań,
- Rozwój szyfrów strumieniowych,
- Rozwój technologii,
- Wyniki prac ECRYPT.

Dziękuję za uwagę.

rogawskim@prokom.pl